

Кафедра механики

**РАСЧЕТ СТАТИЧЕСКИ
НЕОПРЕДЕЛИМЫХ
СТЕРЖНЕВЫХ СИСТЕМ**

*Методические указания
к расчетно-графической работе*

ВВЕДЕНИЕ

Учебной программой курсов «Прикладная механика», «Сопротивление материалов» предусматривается изучение методов прочностного расчета статически неопределимых стержневых систем студентами всех специальностей.

Цель расчетно-графической работы (РГР) состоит в том, чтобы научить будущих инженеров выбирать конструктивные формы стержневых систем, обеспечивающие их надежность и экономичность.

Задачей выполнения РГР является привитие студентам навыков расчета статически неопределимых стержневых конструкций, работающих в условиях одноосного растяжения – сжатия при изменении температуры окружающей среды, с учетом неточностей изготовления отдельных элементов конструкции, вызывающих появление монтажных напряжений до приложения активной внешней нагрузки.

1. ОСНОВНЫЕ ТРЕБОВАНИЯ И ПОРЯДОК ВЫПОЛНЕНИЯ РАСЧЕТНО-ГРАФИЧЕСКОГО ЗАДАНИЯ

Система называется статически неопределимой, если для определения усилий в ее элементах недостаточно уравнений равновесия (статики), т.е. когда число неизвестных усилий (реакций опор) больше числа уравнений равновесия. Степень статической неопределимости системы определяется следующим образом:

$$K = R - Y,$$

где K – степень статической неопределимости системы; R – число неизвестных усилий (реакций); Y – число уравнений равновесия.

Для расчета статически неопределимых систем уравнения статики дополняют необходимым числом уравнений деформации элементов конструкции, для составления которых используются условия совместности деформаций.

Число дополнительных уравнений должно равняться степени статической неопределимости системы K . Условия совместности деформаций формулируются, исходя из требований сохранения целостности системы и ее способности выполнять свое функциональ-



ное назначение при заданной нагрузке. В статически неопределимой системе усилия в ее элементах могут возникать как вследствие действия внешних нагрузок, так и за счет перераспределения деформаций, вызванных изменением температурных режимов работы системы (температурные напряжения) или неточностью изготовления этих элементов (монтажные напряжения).

Для статически неопределимых систем применяемый способ расчета по допускаемым нагрузкам позволяет вскрыть дополнительные резервы прочности, повысить несущую способность конструкции и указывает на возможность более экономного расходования материала.

При выполнении расчетно-графической работы следует обратить внимание на единство статической, геометрической и физической сторон задачи расчета статически неопределимых систем.

Порядок выполнения расчетно-графической работы:

- 1) составить уравнения статики для заданной системы;
- 2) определить степень статической неопределимости системы;
- 3) построить схему перемещений элементов системы;
- 4) составить уравнения совместности деформаций;
- 5) выразить уравнения совместности деформаций через усилия или напряжения, используя закон Гука;
- 6) решить систему уравнений статики и совместности деформаций относительно неизвестных усилий (напряжений);
- 7) исходя из условий прочности, подобрать конструктивные размеры (сечения) стержней.

2. ПРИМЕР РАСЧЕТА СТАТИЧЕСКИ НЕОПРЕДЕЛИМОЙ СТЕРЖНЕВОЙ СИСТЕМЫ

Расчитываемая система представляет собой стержневую конструкцию с одной шарнирной опорой и двумя деформируемыми тягами (рис.1). Заданы материалы стержней: стержень 1 – сталь, стержень 2 – медь; модули упругости их при растяжении - сжатии: $E_1 = 2 \cdot 10^5$ МПа; $E_2 = 1 \cdot 10^5$ МПа; внешняя сила $P = 2 \cdot 10^5$ Н; коэффициенты линейного расширения материалов стержней $\alpha_1^t = 12 \cdot 10^{-6} \text{ } ^\circ\text{C}^{-1}$, $\alpha_2^t = 16 \cdot 10^{-6} \text{ } ^\circ\text{C}^{-1}$. Неточность изготовления эле-

мента системы: стержень 2 изготовлен длиннее на величину $\delta = 0,002 \cdot l_2$. Изменение температуры окружающей среды $\Delta T = +20^\circ\text{C}$ (нагрев).

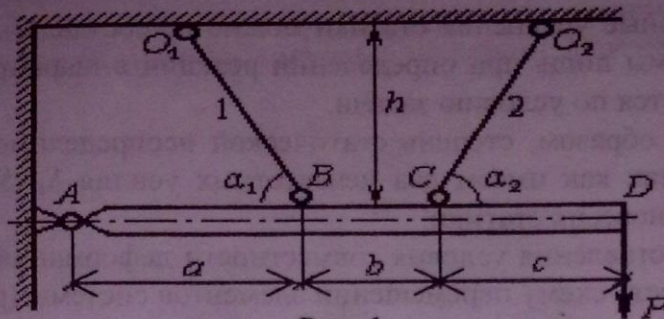


Рис. 1

Допустимые напряжения для материалов каждого из стержней: $[\sigma]_1 = 160 \text{ МПа}$, $[\sigma]_2 = 100 \text{ МПа}$. Конструктивное соотношение площадей стержней $F_1/F_2 = 2$. Геометрические размеры системы: $a = 1 \text{ м}$, $b = 1 \text{ м}$, $c = 1 \text{ м}$, $\alpha_1 = 30^\circ$, $\alpha_2 = 60^\circ$.

Определить величины F_1 , F_2 , учитывая, что балка AD (см. рис. 1) предполагается абсолютно жёсткой и невесомой.

1. Расчет усилий от внешней силы P ($\Delta T = 0$, $\delta = 0$).

Вычертим расчётную схему балки с указанием всех размеров. Для расчёта усилий используем метод сечений. Сечения проведём через оба стержня. Рассмотрим равновесие нижней части системы, заменяя действие отбрасываемой верхней части стержней внутренними усилиями (реакциями) S_1 , S_2 (рис. 2).

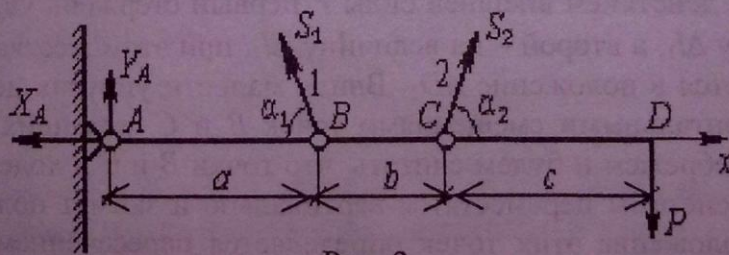


Рис. 2

Составим уравнение статики:

$$\sum M_A = -S_1 \cdot a \cdot \sin \alpha_1 - S_2(a+b) \sin \alpha_2 + P(a+b+c) = 0 \quad (1)$$

или

$$S_1 \cdot a \cdot \sin \alpha_1 + S_2(a+b) \sin \alpha_2 = P(a+b+c).$$

Остальные уравнения статики можно не составлять, так как они необходимы лишь при определении реакций в шарнире X_A, Y_A , чего не требуется по условию задачи.

Таким образом, степень статической неопределимости системы $K = 1$, так как имеем два неизвестных усилия S_1, S_2 и одно уравнение равновесия статики.

Для составления условия совместности деформаций необходимо рассмотреть схему перемещений элементов системы (рис. 3).

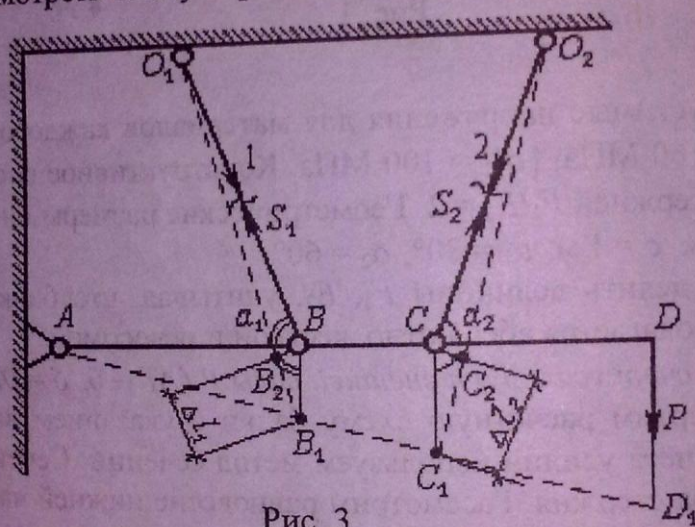


Рис. 3

Под действием внешней силы P первый стержень удлинится на величину Δl_1 , а второй – на величину Δl_2 , при этом жёсткая балка AD повернётся в положение AD_1 . Ввиду малости упругих деформаций, горизонтальными смещениями точек B и C , лежащих на оси балки, пренебрежем и будем считать, что точки B и C в ходе деформирования системы переместятся вертикально и займут положение B_1 и C_1 . Положение этих точек определяется пересечением линии AD и перпендикуляров, проведенных к первоначальному направлению осевой линии балки AD в точки B и C . Удлинения Δl_1 и Δl_2 на-

ходим также графически, для чего из точек B и C опустим перпендикуляры на линии O_1B_1 и O_2C_1 , соответствующие новым положениям стержней 1 и 2 после приложения нагрузки P . Отрезки B_1B_2 и C_1C_2 определяют удлинения стержней - соответственно Δl_1 и Δl_2 .

Условие совместности деформаций в данном случае, проще всего составить, воспользовавшись подобием треугольников ABB_1 и ACC_1 :

$$\frac{BB_1}{a} = \frac{CC_1}{a+b}. \quad (2)$$

Откуда определим:

$$BB_1 = \frac{B_1B_2}{\sin \alpha_1} = \frac{\Delta l_1}{\sin \alpha_1}; \quad CC_1 = \frac{C_1C_2}{\sin \alpha_2} = \frac{\Delta l_2}{\sin \alpha_2}. \quad (3)$$

Подставив равенства (3) в формулу (2), получим условие совместности деформаций для заданной стержневой системы:

$$\Delta l_1 = \Delta l_2 \frac{a}{(a+b)} \cdot \frac{\sin \alpha_1}{\sin \alpha_2} \quad (4)$$

или

$$\Delta l_1 = \Delta l_2 \cdot k,$$

где $k = \frac{a}{(a+b)} \cdot \frac{\sin \alpha_1}{\sin \alpha_2}$ - безразмерный коэффициент, учитывающий

особенности геометрической конфигурации системы.

Используя закон Гука для каждого из стержней, из уравнения (4) получим

$$\frac{S_1 l_1}{E_1 F_1} = \frac{S_2 l_2}{E_2 F_2} \cdot k.$$

Учитывая, что $l_1 = h/\sin \alpha_1$; $l_2 = h/\sin \alpha_2$ (см. рис. 3), последнее соотношение можно переписать следующим образом:

$$S_1 = S_2 \frac{E_1 F_1}{E_2 F_2} \cdot \frac{a}{(a+b)} \cdot \frac{\sin^2 \alpha_1}{\sin^2 \alpha_2} \quad (5)$$

Далее решаем совместно систему уравнений (1) и (5):

$$S_2 = P \frac{(a+b+c)}{(a+b)\sin \alpha_2};$$

$$1 + \frac{E_1 F_1}{E_2 F_2} \frac{a^2}{(a+b)^2} \frac{\sin^3 \alpha_1}{\sin^3 \alpha_2}$$

$$S_1 = P \frac{\frac{E_1 F_1}{E_2 F_2} \frac{a(a+b+c)}{(a+b)^2} \frac{\sin^2 \alpha_1}{\sin^2 \alpha_2}}{1 + \frac{E_1 F_1}{E_2 F_2} \frac{a^2}{(a+b)^2} \frac{\sin^3 \alpha_1}{\sin^3 \alpha_2}}$$

Из последних выражений при известном отношении F_1/F_2 находим численные значения усилий: $S_1 = 19,4 \cdot 10^4$ Н (растяжение), $S_2 = 29,1 \cdot 10^4$ Н (растяжение). Проверка правильности найденных численных значений производится путём подстановки полученных значений S_1 и S_2 в уравнение равновесия (1):

$$19,4 \cdot 10^4 \cdot 1 \cdot 0,5 + 29,1 \cdot 10^4 \cdot 2 \cdot \frac{\sqrt{3}}{2} - 3 \cdot 2 \cdot 10^5 = 0$$

2. *Определение напряжений, вызванных неточностью изготовления ($P = 0$, $\Delta T = 0$, $\delta \neq 0$).*

Пусть первый стержень изготовлен с неточностью по длине $+\delta_1$, а второй – с неточностью $+\delta_2$, т.е. с фактической длиной, несколько большей номинальной. Тогда при сборке в них появятся внутренние напряжения. Расчётная схема при этом будет выглядеть так, как показано на рис.4.

Знаки внутренних усилий будут разными, так как при сборке необходимо второй стержень растянуть на величину Δl_2 , и в нём появятся растягивающие усилия S_2 . Первый стержень будет «сопротивляться» этому, что приведёт к необходимости его сжатия на величину Δl_1 , и в нём возникнут сжимающие усилия S_1 .

Уравнение равновесия для рассматриваемого случая будет

иметь следующий вид:

$$+S_1 \cdot a \cdot \sin \alpha_1 - S_2(a + b) \sin \alpha_2 = 0. \quad (6)$$

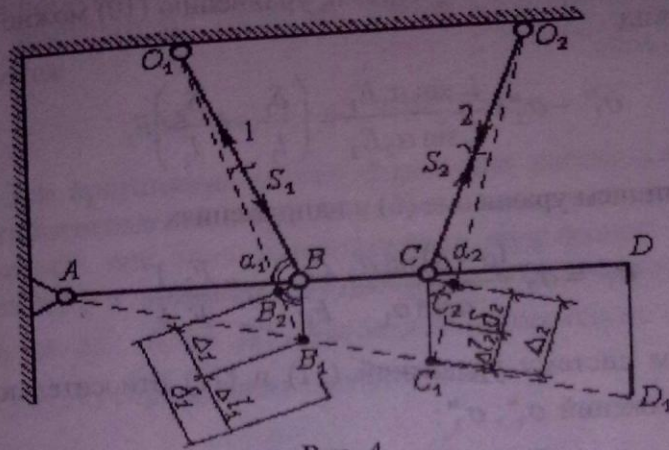


Рис. 4

Из схемы перемещений (рис. 4) получим:

$$B_2B_1 = \Delta_1 = \delta_1 - \Delta l_1; \quad C_2C_1 = \Delta_2 = \delta_2 + \Delta l_2. \quad (7)$$

Соотношение между Δ_1 и Δ_2 находим аналогично п. 1:

$$\Delta_1 = \Delta_2 \cdot k. \quad (8)$$

Подставив выражения (7) в равенство (8), получим условие совместности деформаций:

$$\delta_1 - \Delta l_1 = (\delta_2 + \Delta l_2) \cdot k. \quad (9)$$

Выразив согласно закону Гука удлинения Δl_1 и Δl_2 через усилия S_1, S_2 , преобразуем уравнение (9):

$$\frac{S_1 l_1}{E_1 F_1} + \frac{k S_2 l_2}{E_2 F_2} = \delta_1 - k \delta_2. \quad (10)$$

Перейдём в уравнении (10) к новым переменным, в качестве которых выберем монтажные напряжения

$$\sigma_1^M = \frac{S_1}{F_1}, \quad \sigma_2^M = \frac{S_2}{F_2}.$$

Тогда, выразив l_1 и l_2 через h , уравнению (10) можно придать следующий вид:

$$\sigma_1^M + \sigma_2^M k \frac{l_2 \sin \alpha_1 E_1}{l_1 \sin \alpha_2 E_2} = \left(\frac{\delta_1}{l_1} - k \frac{\delta_2}{l_1} \right) E_1. \quad (11)$$

Перепишем уравнение (6) в напряжениях:

$$\sigma_1^M = \sigma_2^M \frac{(a+b) \sin \alpha_2}{a \sin \alpha_1} \frac{F_2}{F_1} = \sigma_2^M \frac{F_2}{F_1} \frac{1}{k}. \quad (12)$$

Решим систему уравнений (11) и (12) относительно неизвестных напряжений σ_1^M ; σ_2^M :

$$\sigma_2^M = \frac{\left(\frac{\delta_1}{l_1} - k \frac{\delta_2}{l_1} \right) \frac{F_1}{F_2} \frac{a \sin \alpha_1}{(a+b) \sin \alpha_2} E_1}{1 + \frac{E_1 F_1}{E_2 F_2} \frac{a^2 \sin^3 \alpha_1}{(a+b)^2 \sin^3 \alpha_2}}; \quad (13)$$

$$\sigma_1^M = \frac{\left(\frac{\delta_1}{l_1} - k \frac{\delta_2}{l_1} \right) E_1}{1 + \frac{E_1 F_1}{E_2 F_2} \frac{a^2 \sin^3 \alpha_1}{(a+b)^2 \sin^3 \alpha_2}}.$$

Если задать $\delta_1 = 0$, $\delta_2 = 0,002l_2$, то из уравнений (13) получим: $\sigma_1^M = -55,9$ МПа; $\sigma_2^M = -32,3$ МПа. Отрицательные значения найденных напряжений означают, что принятые направления усилий в стержнях S_1 и S_2 противоположны фактическим, т.е. первый стержень растягивается, а второй – сжимается: $\sigma_1^M = 55,9$ МПа (растяжение); $\sigma_2^M = -32,3$ МПа (сжатие).

3. Расчёт температурных напряжений ($P = 0, \delta = 0, \Delta T \neq 0$).
Вариант 1 (нагрев стержней). Предположим, что оба стержня системы нагреты до температуры $T_x + \Delta T$, где T_x – начальная (комнатная) температура. Тогда их длины получают соответствующие приращения

$$\Delta l_1^t = \alpha_1^t \cdot l_1 \cdot \Delta T, \quad \Delta l_2^t = \alpha_2^t \cdot l_2 \cdot \Delta T. \quad (14)$$

Эти приращения можно формально рассматривать как неточности изготовления стержней и воспользоваться для определения возникающих при этом температурных напряжений результатами решения п.2 (см. уравнения (13)), заменив в окончательных выражениях δ_1 на Δl_1^t , δ_2 на Δl_2^t . Тогда для температурных напряжений σ_1^t и σ_2^t будут справедливы соотношения:

$$\sigma_1^t = \frac{\left(\alpha_1^t - k \frac{l_2}{l_1} \alpha_2^t \right) \cdot \Delta T \cdot E_1}{1 + \frac{E_1 F_1}{E_2 F_2} \cdot \frac{a^2}{(a+b)^2} \cdot \frac{\sin^3 \alpha_1}{\sin^3 \alpha_2}}; \quad (15)$$

$$\sigma_2^t = \frac{\left(\alpha_1^t - k \frac{l_2}{l_1} \alpha_2^t \right) \cdot \Delta T \cdot E_1 \frac{F_1}{F_2} k}{1 + \frac{E_1 F_1}{E_2 F_2} \cdot \frac{a^2}{(a+b)^2} \cdot \frac{\sin^3 \alpha_1}{\sin^3 \alpha_2}}$$

При $\Delta T = +20^\circ\text{C}$ и заданных геометрических и физических параметрах системы из уравнений (15) получим:

$$\sigma_1^t = -31,3 \text{ МПа (сжатие)}; \quad \sigma_2^t = 18,1 \text{ МПа (растяжение)}.$$

Проверка решения по аналогии с предыдущими случаями.

Вариант 2 (охлаждение одного из стержней). Рассмотрим в качестве второго примера определение температурных напряжений конструктивной схемы, соответствующей варианту 4 и изображенной на рис. 5.

Пусть второй стержень DG охлаждается на $\Delta T_2 = 30^\circ\text{C}$. Тогда

его укорочение составит $\delta_{T_2} = \alpha_{T_2} \Delta T_2 l_2$. При сборке конструкции упругое удлинение второго стержня будет соответствовать отрезку $D_2M = \Delta l_2$ (рис. 6).

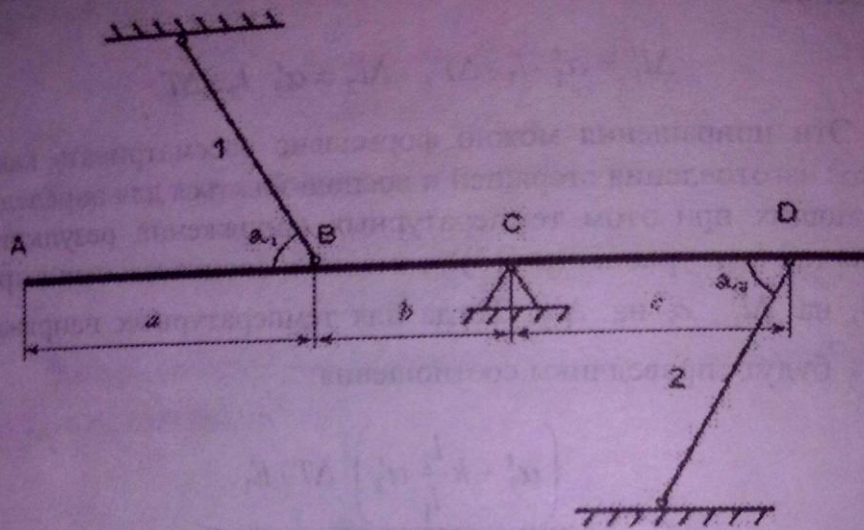


Рис. 5

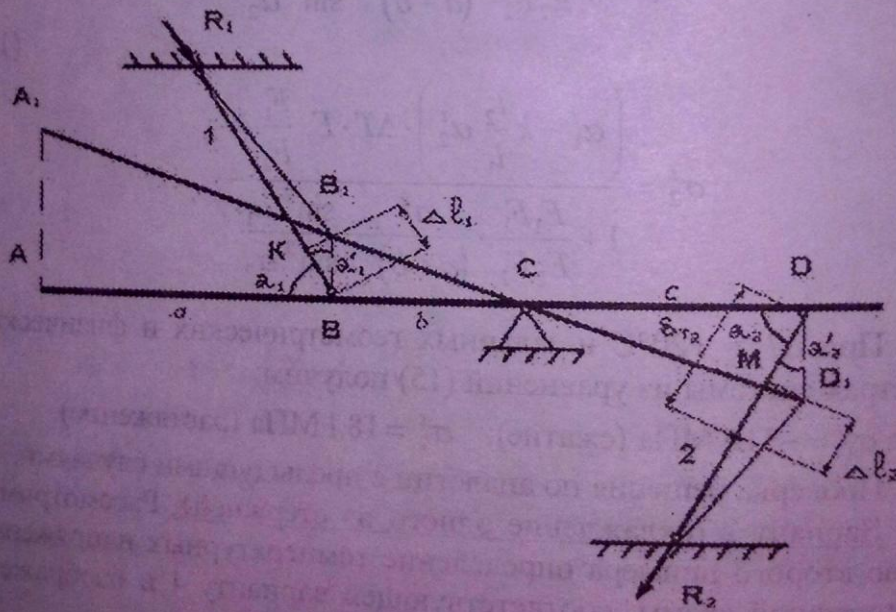


Рис. 6

После сборки точка D совпадает с точкой D_1 . При этом балка AD повернется вокруг шарнира C и будет сжимать первый стержень, упругое сжатие которого изображается отрезком KB . Точка B в результате переместится в точку B_1 .

Из подобия треугольников BB_1C и DD_1C получим:

$$\frac{BB_1}{b} = \frac{DD_1}{c}. \quad (16)$$

Для BB_1 и DD_1 можно записать:

$$\begin{aligned} BB_1 &= \frac{KB}{\cos \alpha_1'} = \frac{\Delta l_1}{\sin \alpha_1}; \\ DD_1 &= \frac{\delta_{T_2} - \Delta l_2}{\cos \alpha_2'} = \frac{\delta_{T_2} - \Delta l_2}{\sin \alpha_2}, \end{aligned} \quad (17)$$

где Δl_1 и Δl_2 - упругие деформации первого и второго стержней соответственно.

При этом, первый стержень сжимается, а второй - растягивается. На рис. 6 обозначим соответственно знакам деформаций реактивные усилия в стержнях R_1 и R_2 .

Объединяя (16) и (17), получаем уравнение совместности деформаций:

$$\frac{\Delta l_1}{b \sin \alpha_1} = \frac{\delta_{T_2} - \Delta l_2}{c \sin \alpha_2}$$

или

$$\Delta l_1 \frac{c \sin \alpha_2}{b \sin \alpha_1} + \Delta l_2 = \delta_{T_2}.$$

Обозначая $\frac{c \sin \alpha_2}{b \sin \alpha_1} = A$, получим окончательно:

$$\Delta l_1 \cdot A + \Delta l_2 = \delta_{T_2}. \quad (18)$$

Уравнение равновесия запишется как

$$\sum M_C = -R_1 b \cdot \sin \alpha_1 + R_2 c \cdot \cos \alpha_2 = 0 \quad (19)$$

или

$$R_1 = R_2 \frac{c \cdot \sin \alpha_2}{b \cdot \sin \alpha_1} = AR_2 \quad (20)$$

Далее решение проводится аналогично варианту 1:

$$\Delta l_1 = \frac{R_1 l_1}{E_1 F_1}; \quad \Delta l_2 = \frac{R_2 l_2}{E_2 F_2} \quad (21)$$

Обозначая

$$\sigma_1^T = R_1 / F_1, \quad \sigma_2^T = R_2 / F_2,$$

из (21) получаем выражение:

$$\Delta l_1 = \sigma_1^T \frac{l_1}{E_1}; \quad \Delta l_2 = \sigma_2^T \frac{l_2}{E_2},$$

которые подставляем в (20) и (18):

$$\sigma_1^T = A \sigma_2^T \frac{F_2}{F_1}; \quad (22)$$

$$A \sigma_1^T \frac{l_1}{E_1} + \sigma_2^T \frac{l_2}{E_2} = \delta_{T_2} \quad (23)$$

или

$$A \frac{l_1}{l_2} \frac{E_2}{E_1} \cdot \sigma_1^T + \sigma_2^T = \frac{\delta_{T_2} E_2}{l_2} = \alpha_{T_2} \Delta T_2 E_2. \quad (24)$$

Решая совместно (22) и (24) получаем для температурных напряжений следующие зависимости:

$$\sigma_2^T = \frac{\alpha_{T_2} \cdot \Delta T_2 \cdot E_2}{1 + A^2 \frac{l_1 E_2 F_2}{l_2 E_1 F_1}}, \quad (25)$$

$$\sigma_1^T = \frac{\alpha_{T_2} \cdot \Delta T_2 \cdot E_2 \cdot A \cdot E_2 F_2 / F_1}{1 + A^2 \frac{l_1 E_2 F_2}{l_2 E_1 F_1}}.$$

Подставляя в (25) численные значения: $\alpha_{T_2} = 12 \cdot 10^{-6}$, $\Delta T_2 = 30^\circ\text{C}$, $E_2 = 2 \cdot 10^5$ МПа, $E_1 = 1 \cdot 10^5$ МПа, $l_1/l_2 = 1$, $F_2/F_1 = 2$, $b = 2$ м, $c = 1$ м, $\alpha_1 = \alpha_2 = 45^\circ$, $A = 1/2 = 0.5$, получаем:

$$\sigma_1^T = \frac{12 \cdot 10^{-6} \cdot 30 \cdot 2 \cdot 10^5}{1 + 0.5^2 \cdot 1 \cdot \frac{2 \cdot 10^5}{1 \cdot 10^5} \cdot 2} = \frac{72}{1 + 0.25 \cdot 4} = 36 \text{ МПа},$$

$$\sigma_2^T = \frac{12 \cdot 10^{-6} \cdot 30 \cdot 0.5 \cdot 2 \cdot 10^5 \cdot 2}{1 + 0.5^2 \cdot 1 \cdot \frac{2 \cdot 10^5}{1 \cdot 10^5} \cdot 2} = \frac{72}{2} = 36 \text{ МПа},$$

где $A = c/b = 0.5$.

Таким образом, окончательно получаем температурные напряжения с учетом знаков (см. рис. 6):

$$\sigma_1^T = -36 \text{ МПа (сжатие)}, \quad \sigma_2^T = +36 \text{ МПа}.$$

Проверка выполняется аналогично предыдущим случаям.

4. Подбор сечений элементов систем (например, для первого варианта).

При расчёте сечений учитывается одновременное действие всех нагружающих факторов: внешней нагрузки, внутренних монтажных и температурных напряжений. Полученные в пп. 1, 2, 3 данные представим в виде табл. 1. Условия прочности для каждого из стержней записываются в виде неравенств

$$\frac{S_1}{F_1} + \sigma_1^m + \sigma_1^t \leq [\sigma]_1; \quad \frac{S_2}{F_2} + \sigma_2^m + \sigma_2^t \leq [\sigma]_2.$$

Тогда

$$F_1 \geq \frac{S_1}{[\sigma]_1 - \sigma_1 - \sigma_1^t}, \quad F_2 \geq \frac{S_2}{[\sigma]_2 - \sigma_2 - \sigma_2^t}. \quad (26)$$

При выбранных численных значениях для F_1 и F_2 получим

$$F_1 \geq 14,4 \cdot 10^{-4} \text{ м}^2, \quad F_2 \geq 25,4 \cdot 10^{-4} \text{ м}^2. \quad (27)$$

Учитывая заданное отношение $F_1/F_2 = 2$, находим площади первого и второго стержня соответственно: $F_1' = 2F_2 = 50,8 \cdot 10^{-4} \text{ м}^2$; $F_2' = 0,5F_1 = 7,2 \cdot 10^{-4} \text{ м}^2$. Первому из неравенств (27) удовлетворяет значение $F_1' = 50,8 \cdot 10^{-4} \text{ м}^2$, при значениях F_2' второе неравенство не выполняется. Окончательно выбираем: $F_1 = 50,8 \cdot 10^{-4} \text{ м}^2$; $F_2 = 25,4 \cdot 10^{-4} \text{ м}^2$.

Таблица 1

Внутренние усилия от силы P , МН	Напряжения, МПа			F/F ₁
	от δ	от ΔT	допускаемые	
$S_1 = 0,194$	$\sigma_1 = 55,9$	$\sigma_1^t = 31,3$	$[\sigma]_1 = 160$	2
$S_2 = 0,291$	$\sigma_2 = -32,3$	$\sigma_2^t = 18,1$	$[\sigma]_2 = 160$	

Очевидно, что при этом напряжения в первом стержне будут меньше допускаемых, т.е. $\sigma_1 < [\sigma]_1$, во втором - $\sigma_2 = [\sigma]_2$.

Задание для РГР. Рассчитать площади поперечного сечения стержней конструкций, изображенных на рис. 7 и 8. Данные вариантов приведены в табл. 2.

Таблица 2

ИСХОДНЫЕ ДАННЫЕ ДЛЯ РГР

№ ва-ри-ант	Расч. схема	a, м	b, м	c, м	d, м	h, м	α_1	α_2	P_1 , кН	P_2 , кН	q, кН/м	F_2/F_1	Материал стержней	ΔT , °C	δ , м
1	2	3	4	5	6	7	8	9	10	11	12	13	14	15	16
1	1	2	5	4	2	2	60	30	20	10	20	1	1. медь 2. сталь	- 20	0,001 -
2	2	2	6	4	1	2	45	45	10	10	10	0,5	1. медь 2. сталь	- 20	0,001 -
3	3	2	2	2	0,5	1	30	45	10	10	10	2	1. медь 2. сталь	- 20	0,001 -
4	4	2	2	2	-	1	30	45	10	10	10	1	1. медь 2. сталь	- 20	0,001 -
5	5	4	2	6	1	2	30	30	10	20	10	1	1. медь 2. сталь	- 20	0,001 -
6	6	4	2	4	-	3	45	45	10	20	10	0,5	1. медь 2. сталь	- 20	0,001 -
7	7	2	2	2	1	1	30	30	20	-	10	2	1. медь 2. сталь	- 20	0,001 -
8	8	2	2	3	-	2	30	30	10	-	10	1	1. медь 2. сталь	- 20	0,001 -
9	9	2	2	2	-	1	30	30	10	-	20	1	1. медь 2. сталь	- 20	0,001 -
10	10	2	2	2	2	3	30	30	10	20	10	1	1. медь 2. сталь	- 20	0,001 -
11	11	2	2	4	-	2	30	60	20	-	10	0,5	1. медь 2. сталь	- 20	0,001 -
12	12	2	4	3	-	1	30	30	10	-	10	1	1. медь 2. сталь	- 20	0,001 -
13	13	2	4	2	-	4	30	30	20	-	10	1,5	1. медь 2. сталь	- 20	0,001 -
14	14	2	2	4	1	2	30	30	10	10	20	1	1. медь 2. сталь	- 20	0,001 -

СПИГИ (ТУ)
ГЛАВНАЯ
БИБЛИОТЕКА

Продолжение табл. 2

15	15	4	4	4	2	2	30	30	10	10	10	1	1. медь 2. сталь	- 20	0,001 -
16	1	4	7	4	3	1	45	30	-20	-10	10	0,5	1. медь 2. сталь	30 -	- 0,001
17	2	2	4	3	2	0,5	30	45	-10	0	10	0,5	1. медь 2. сталь	30 -	- 0,001
18	3	4	6	2	4	1,5	45	30	-20	-10	10	1	1. медь 2. сталь	30 -	- 0,001
19	4	2	2	2	-	1	90	45	-10	-10	20	0,5	1. медь 2. сталь	30 -	- 0,001
20	5	6	2	4	2	2	30	30	10	20	10	1	1. медь 2. сталь	30 -	- 0,001
21	6	2	2	4	-	4	30	60	-10	-20	10	0,5	1. медь 2. сталь	30 -	- 0,001
22	7	2	4	2	0	1	45	30	-50	-	10	1	1. медь 2. сталь	30 -	- 0,001
23	8	4	1	4	-	3	60	30	10	-	-10	1	1. медь 2. сталь	30 -	- 0,001
24	9	4	2	4	-	0,5	45	60	40	-	10	1	1. медь 2. сталь	30 -	- 0,001
25	10	4	2	4	1	2	60	30	20	-20	10	1	1. медь 2. сталь	30 -	- 0,001
26	11	3	3	2	-	3	45	45	-20	-	10	0,5	1. медь 2. сталь	30 -	- 0,001
27	12	4	4	5	-	1,5	60	30	-10	-	10	1	1. медь 2. сталь	30 -	- 0,001
28	13	4	6	2	-	3	60	30	20	-	20	1,5	1. медь 2. сталь	30 -	- 0,001
29	14	3	4	3	0	3	60	30	-10	10	5	1	1. медь 2. сталь	30 -	- 0,001
30	15	6	2	3	4	2	60	30	-10	10	20	1	1. медь 2. сталь	30 -	- 0,001
31	1	2	3	1	5	1	45	45	0	40	10	0,5	1. медь 2. сталь	-30 -	- -0,001
32	2	6	4	2	2	1,5	30	30	10	30	-10	1,5	1. медь 2. сталь	-30 -	- -0,001

Продолжение табл. 2

1	2	3	4	5	6	7	8	9	10	11	12	13	14	15	16
33	3	5	4	2	3	1	90	60	-20	10	-20	1	1 медь 2 сталь	-30	-
34	4	2	2	2	-	1	120	90	10	40	-10	0,5	1 медь 2 сталь	-30	-0,001
35	5	2	2	4	2	1	60	30	-10	-20	-10	1	1 медь 2 сталь	-30	-0,001
36	6	6	1	2	-	2	60	30	-10	-20	-30	0,5	1 медь 2 сталь	-30	-0,001
37	7	1	3	2	1	0,5	30	45	-10	-	-40	1	1 медь 2 сталь	-30	-0,001
38	8	2	4	1	-	1	30	60	-40	-	10	1	1 медь 2 сталь	-30	-0,001
39	9	2	4	2	-	0,5	135	90	10	-	-10	1	1 медь 2 сталь	-30	-0,001
40	10	2	6	2	4	2	60	60	-20	-20	20	1	1 медь 2 сталь	-30	-0,001
41	11	2	6	4	-	1,5	45	120	20	-	-40	0,5	1 медь 2 сталь	-30	-0,001
42	12	3	3	6	-	1	135	30	10	-	-30	1	1 медь 2 сталь	-30	-0,001
43	13	2	4	4	-	2	45	45	-20	-	20	1,5	1 медь 2 сталь	-30	-0,001
44	14	4	6	2	4	2	90	30	-10	-10	-30	1,5	1 медь 2 сталь	-30	-0,001
45	15	4	3	5	4	1	90	30	-10	10	-20	1	1 медь 2 сталь	-30	-0,001
46	1	1	8	6	2	0,5	30	30	30	0	-20	0,5	1 медь 2 Al	-40	0,002
47	2	2	3	2	2	1	60	60	-10	-30	-10	0,5	1 медь 2 Al	-40	0,002
48	3	2	5	2	4	1	60	90	-20	-10	30	1	1 медь 2 Al	-40	0,002
49	4	2	2	2	-	1	30	60	30	10	5	0,5	1 медь 2 Al	-40	0,002
50	5	4	4	4	3	1	60	60	-10	-20	10	1	1 медь 2 Al	-40	0,002

Продолжение табл. 2

1	2	3	4	5	6	7	8	9	10	11	12	13	14	15	16
51	6	5	2	1	-	2	60	120	10	-20	-20	0,5	1 медь 2 Al	-40	0,002
52	7	5	4	3	3	1	90	60	10	-	-10	1	1 медь 2 Al	-40	0,002
53	8	1	3	4	-	2	60	120	-20	-	-30	1	1 медь 2 Al	-40	0,002
54	9	3	4	2	-	0,5	90	135	-10	-	-20	1	1 медь 2 Al	-40	0,002
55	10	2	3	4	1	1	45	90	20	-20	-20	1	1 медь 2 Al	-40	0,002
56	11	6	5	7	-	2,5	30	60	-50	-	-20	0,5	1 медь 2 Al	-40	0,002
57	12	6	3	2	-	1,5	90	135	-30	-	30	1,5	1 медь 2 Al	-40	0,002
58	13	3	3	2	-	2,5	90	45	-20	-	-20	1,5	1 медь 2 Al	-40	0,002
59	14	6	5	1	1	2	60	90	10	-40	20	1,5	1 медь 2 Al	-40	0,002
60	15	7	1	2	2	3	45	90	10	40	-50	1,5	1 медь 2 Al	-40	0,002
61	1	4	3	2	2	1	60	60	-10	0	-20	0,5	1 Al 2 сталь	20	-0,002
62	2	5	7	3	5	1	45	60	10	-10	-10	1,5	1 Al 2 сталь	20	-0,002
63	3	6	3	1	2	1	120	30	20	-10	-30	1	1 Al 2 сталь	20	-0,002
64	4	2	2	4	-	1	30	30	10	0	15	0,5	1 Al 2 сталь	20	-0,002
65	5	4	2	4	1	2	45	60	10	20	-40	1	1 Al 2 сталь	20	-0,002
66	6	3	3	3	-	2	30	120	-30	20	20	0,5	1 Al 2 сталь	20	-0,002
67	7	3	6	6	6	1,5	135	30	-10	-	-10	1	1 Al 2 сталь	20	-0,002
68	8	3	3	1	-	4	120	120	20	-	30	1	1 Al 2 сталь	20	-0,002

1	2	3	4	5	6	7	8	9	10	11	12	13	14	15	16
69	9	1	4	1	-	1	60	135	60	-	-10	1	1. Al 2. сталь	20 20	-0,002 -
70	10	4	4	3	2	1,5	90	45	-30	20	-20	1	1. Al 2. сталь	20 20	-0,002 -
71	11	4	3	4	-	3,5	30	90	10	-	-40	0,5	1. Al 2. сталь	20 20	-0,002 -
72	12	4	2	5	-	2	60	90	30	-	-30	1,5	1. Al 2. сталь	20 20	-0,002 -
73	13	1	4	4	-	1,5	45	90	40	-	-20	0,5	1. Al 2. сталь	20 20	-0,002 -
74	14	2	4	6	3	3	60	60	-50	40	-40	1,5	1. Al 2. сталь	20 20	-0,002 -
75	15	5	2	4	1	2	135	30	-10	-40	50	1,5	1. Al 2. сталь	20 20	-0,002 -
76	1	5	7	4	6	2	45	60	-10	30	20	1,5	1. сталь 2. медь	-20 -20	0,002 -
77	2	3	1	3	2	1	90	60	-30	-10	5	1,5	1. сталь 2. медь	-20 -20	0,002 -
78	3	1	6	6	5	1,5	30	120	10	-10	10	1,5	1. сталь 2. медь	-20 -20	0,002 -

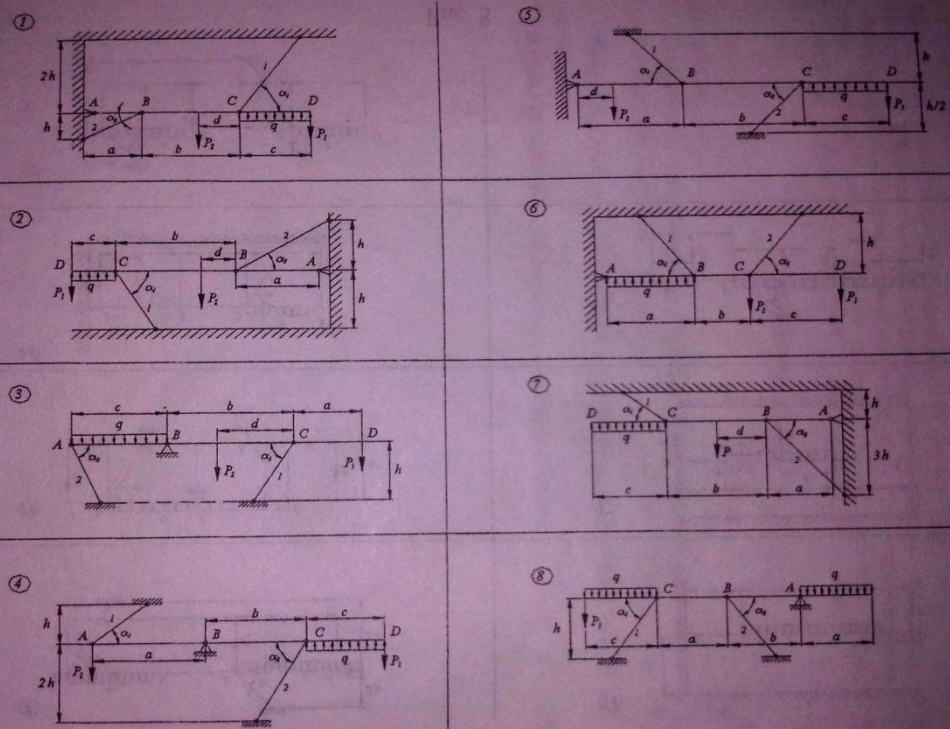


Рис. 7

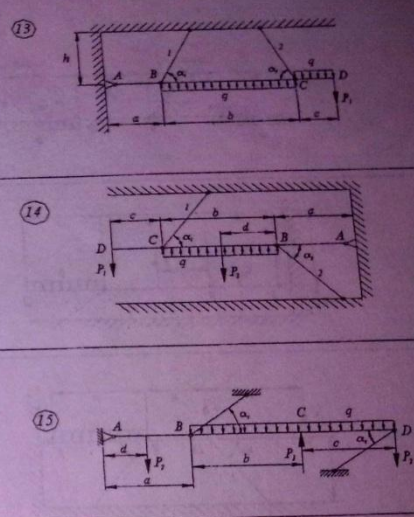
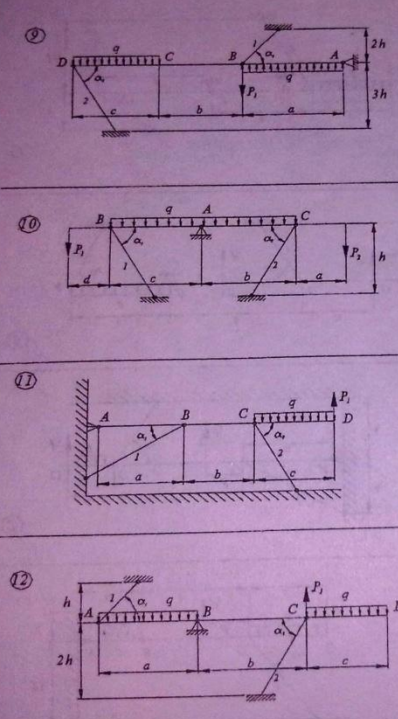


Рис. 8